# MD シミュレーションによるモノエタノールアミン (MEA), ブチルエタノールアミン (BEA) 水溶液の液体構造の解析

日大生産工(研究員) ○岡田 真紀, 日大生産工(院) 藤田 拳人, 日大生産工 保科 貴亮 RITE 山田 秀尚, マレーシア工科大 辻 智也, 日大生産工 日秋 俊彦

## 1. 緒言

代表的な温室効果ガスである CO<sub>2</sub> の化学吸 収液として, アミン水溶液が広く利用されて おり多くの研究がなされている. 現在 CO2 吸 収液として、最も一般的に利用されているア ミンはモノメータノールアミン (MEA) であ るが、粘性が高いため非常に扱いづらい. 当研 究室では、純溶媒で MEA よりも粘性の低い ブチルエタノールアミン (BEA) に注目し、 BEA水溶液の CO<sub>2</sub> 吸収量, 密度および粘度の 測定を行ってきた<sup>1)</sup>.しかし Fig. 1 に示すよう に、組成依存性において水溶液の粘度は 0.5 付近で極大を示し、0.8 付近まで MEA 水溶液 と比べて BEA 水溶液の粘度が高くなった. この傾向はアミン濃度が低い水- rich 領域で 顕著であり、分子内に導入されたブチル基の 影響で水分子の運動が低下したためだと考え られるが、その詳細は分かっていない.

そこで本研究では、希薄 MEA および BEA 水溶液の MD シミュレーションを行い、アミン-水間の相互作用に注目し、それぞれの水溶液の液体構造の違いが、水分子の運動に与える影響について解析した.

## 2. 計算条件

周期境界条件下の立法セルに水 499 分子,アミン 1 分子のトータル 500 分子用意し,NVT = -定の条件下でシミュレーションを行った. T は Nose-Hoover 法を用いて300 K に制御し、V は d=1.00 g/cm³として計算した. 力場にはOPLS-AA4を採用し,運動方程式は速度 Verlet 法により1 step あたり1 fsで解いた. 長距離相互作用の計算にはPME使用した. これらの計算条件で GROMACS 5.1.4® を用いて100 ns 分の計算を行い,得られたトラジェクトリを解析した.

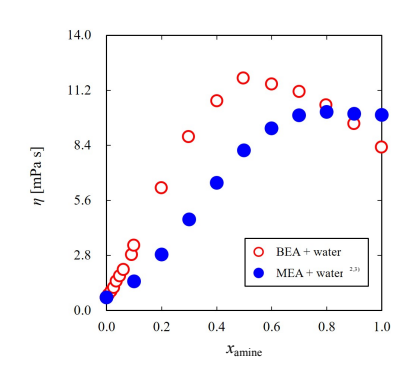


Fig. 1. Composition dependence of viscosities ( $\eta$ ) in amine<sup>1)-3)</sup> -water mixtures at 313.5 K.

### 3. 結果および考察

#### 3-1. 液体構造 (Static properties)

それぞれのアミンの液体構造に関する解析の一例として、Fig. 2 に閾値 10 倍でのアミン分子周囲の水分子の分布を示した. MEA系では、MEA分子全体を取り囲むように水分子の分布が確認され、BEA系では、MEA系同様アミノ基およびヒドロキシ基周囲にプラスして、ブチル基周囲の広い範囲でも水の分布が確認された.

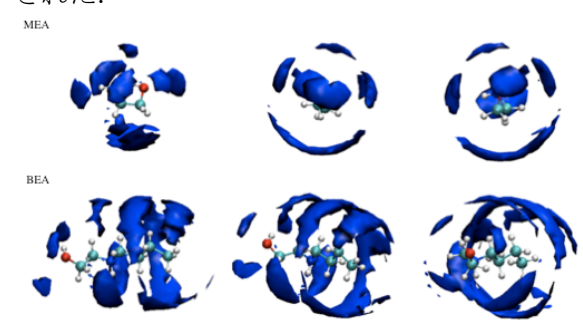


Fig. 2. Spatial distribution function of water around amine in MEA-, BEA – water mixtures (threshold = 10).

Analyzing the liquid structures in MEA and BEA aqueous solutions by MD simulation. Masaki OKADA, Kento FUJITA, Taka-aki HOSHINA, Hidetaka YAMADA, Tomoya TSUJI and Toshihiko HIAKI どちらの系においてもヒドロキシ基,アミノ 基周囲で見られる水の分布は水素結合による ものであると考えられる. MEA系ではヒロド キシ基およびアミノ基の水素結合をメインと し, MEA分子周囲に均一に水分子が分布して いるが, BEA系においてはヒロドキシ基および アミノ基の水素結合由来の分布も存在し,さ らにブチル基周囲を取り囲むように水分子が 存在する.

## 3-2. 水分子の運動性 (Dynamical properties)

水分子の運動性の解析として、水分子の OH ベクトルに対する再配向相関関数  $(C_R(t))$  を計算した.  $C_R(t)$  は NMR の再配向相関時間  $(z_0)$  と対応するルジャンドル多項式 P=2 を使用した.

Fig. 4に示した通り、MEA系では各環境での $C_R(t)$ の減衰の変化は僅かであるのに対し、BEA系では明らかにアミノ基周囲で減衰が遅くなっており、アミノ基周囲での水の運動性の低下がみられた。またFig. 4で示した、様々な環境下での水分子の $C_R(t)$ の違いをより明確にする為に、式(1)を用いて $\varepsilon$ を計算した。

$$\tau_{\rm C} = \int_0^\infty C_{\rm R}(t)dt \tag{1}$$

MEA -水系では (a) Total (b) アミノ基周囲, (c) ヒドロキシ基周囲, (d) 重心周囲, (e) bulk (アミンの第一溶媒和圏に存在していない水分子) の  $\tau$  を, BEA -水系では (a) - (e) に加えて (f) ブチル基周囲の水分子の  $\tau$  を Table 1 に示した.

MEA 系では bulk の水分子の  $\tau_c$  と比べ、アミノ基およびヒドロキシ基周囲で 1.4、CoM 配位で 1.3 と僅かであるが増加する. これは MEA - 水間の相互作用により第一溶媒和圏内の水分子の運動は、bulk と比べ全体的に低下することを示している.

一方、BEA 系では、bulk の水分子の  $\tau_c$  と比べ、ヒドロキシ基で1.4と MEA 系と同じ値を示したが、アミノ基周囲で 1.8 と MEA 系と比べ大きな値となった。またブチル基周囲でも 1.4と bulk の値と比べて増加した。MEA 系同様、第一溶媒和圏内の水分子の運動は、bulk と比べ低下するが、MEA 系と比べ特にアミノ基周囲で増加する。また興味深いことにbulk と比べ、ブチル基周囲の水分子の運動

性が低下している. これは 3-1 項で示したブチル基を取り囲むように分布した水分子はbulk と異なる水素結合構造をしており, その構造は bulk よりも水の運動性を低下させることを示している.

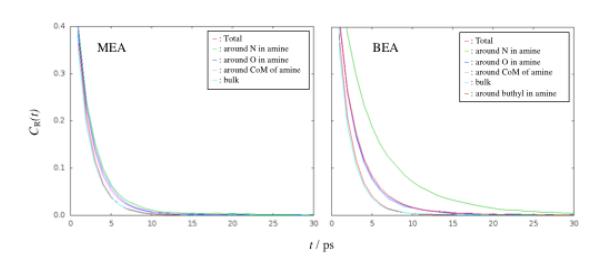


Fig. 5. Reorientational correlation functions  $(C_R(t))$  of water at various environment in MEA – and BEA – water mixtures.

Table 1. Reorientational correlation times  $(\tau_c)$  of water at various environment. ((a) - (f) : see text)

	(a)	(b)	(c)	(d)	(e)	(f)
MEA	1.3	1.4	1.4	1.3	1.2	-
BEA	1.3	1.8	1.4	1.5	1.2	1.4

<sup>\*</sup>  $\tau_c = 1.3$  ps in neat water.

#### 4. 結言

MEA 系では水の水素結合構造を大きく変化させることなく水と相互作用し、水素結合を基本とした均一な構造をもち、それらは水分子の運動性を劇的に変化させることはない.一方 BEA 系ではブチル基導入によるアミノ基周囲での BEA-水間の水素結合の強化およびブチル基周囲での bulk の水とは異なる水素結合構造により水の運動性は劇的に低下される.

これらの液体構造の違いにより起因される 水分子の運動性の低下が水-rich 領域で、 MEA 水溶液と比べ BEA 水溶液の粘度が増加 する原因である.

#### 5. 参考文献

- 1) Kento Fujita et. al., 第 83 年会 化学工学会 予稿集 (2018).
- 2) Trine G. Amundsen et al., *J. Chem. Eng. Data*, **54**, 3096-3100. (2009).
- 3) Ralph H. Weiland et al., *J. Chem. Eng. Data*, **43**, 378-382, (1998).
- 4) W. L. Jorgensen, D. S. Maxwell, and J. Tirado-Rives, *J. Am. Chem. Soc.* **1996**, *118*, 11225.